

論 説

酸化鐵と酸化マンガンの固體反応に関する研究(I)

藤田守太郎\*・有山恭藏\*

SOLID REACTION BETWEEN FERRIC OXIDE AND MANGANESE OXIDE (I).

Moritarô Huzita and Kyôzô Ariyama

**SYNOPSIS:**—Products of solid reactions, which take place between  $\text{Fe}_2\text{O}_3$  and  $\text{Mn}_3\text{O}_4$  when the mixtures of the oxides are heated at a high temperature, are ferro-magnetic when quenched from that temperature. The authors studied these reactions systematically by magnetic measurement. According to this study the reactions start at 600°C, and the slow cooling greatly diminishes the ferro-magnetic effect of the reaction products. The variations of the magnetic power of the quenched substances with differences in the composition of the mixtures, heating temperature, duration of the heating and the thoroughness with which the oxides are mixed were carefully studied. It was observed that there is a temperature above which the intensity of magnetization for each mixture ceases to increase as the heating temperature is increased. This temperature is about 900°C for  $\text{Fe}_2\text{O}_3 \cdot 2\text{Mn}_3\text{O}_4$ , 1100°C for  $\text{Fe}_2\text{O}_3 \cdot \text{Mn}_3\text{O}_4$ , and 1200°C for  $2\text{Fe}_2\text{O}_3 \cdot \text{Mn}_3\text{O}_4$ . These results seem to indicate that above such temperatures the reactions between all available oxides are completed. The measurement of Curie points indicated that there are at least four kinds of substances namely,  $\text{Fe}_2\text{O}_3 \cdot 2\text{Mn}_3\text{O}_4$ ,  $\alpha\text{Fe}_2\text{O}_3 \cdot \text{Mn}_3\text{O}_4$ ,  $\beta\text{Fe}_2\text{O}_3 \cdot \text{Mn}_3\text{O}_4$ , and  $2\text{Fe}_2\text{O}_3 \cdot \text{Mn}_3\text{O}_4$ . The transition from  $\alpha$  phase to  $\beta$  phase occurs at 990°C. A reaction diagram was tentatively plotted to explain the solid reaction mechanism.

I. 緒 言

酸化鐵( $\text{Fe}_2\text{O}_3$ )と他の金屬酸化物とが反応して、屢強磁性の化合物を作ることは、既に知られてゐる<sup>1)</sup>。酸化鐵( $\text{Fe}_2\text{O}_3$ )と酸化マンガン( $\text{Mn}_3\text{O}_4$ )とは、高溫度に於て、即ち900°C乃至1300°Cに於ては、固體反応を起して、結合體を作ることは、二三の人々に依つて研究されてゐるがKussmann及Nitka兩氏<sup>2)</sup>に據れば、結合體が強磁性を呈するのは、この兩酸化物間の固溶體と關係があると云ふ。結晶構造は、W.Verway及Van Bruggen兩氏<sup>3)</sup>に據れば、 $\text{Mn}_3\text{O}_4$ に對し $\text{Fe}_2\text{O}_3$ が増加するに従ひ、次第に $\text{Mn}_3\text{O}_4$ の構造、即ち正方晶形( $a=8.14\text{ \AA}$   $c=9.42\text{ c/a}=1.16$ )より、立方形( $a=c=8.53$ )に移行するが、 $\text{Mn}:\text{Fe}=60:40$ で立方形となり、 $\text{Fe}$ が更に増加しても、 $c/a$ の値には變化なく、 $\text{Mn}_3\text{O}_4 \cdot 3\text{Fe}_2\text{O}_3$ はスピネル形の構造を持つと云ふ。Kussmann及Nitka兩氏は、強磁性と關係ある固溶體は、スピネル形の構造であると云ふ。又L.Kraeber

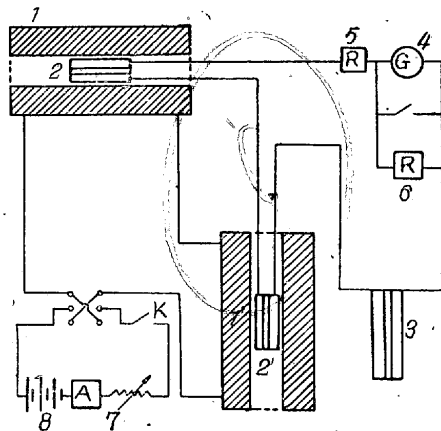
氏<sup>4)</sup>等は、菱鐵礦を空氣を遮断して焙燒した試料を、X線試験に供し、かやうな試料には、 $(\text{Fe}, \text{Mn})\text{O}$ 及 $(\text{Fe}, \text{Mn})\text{O} \cdot \text{Fe}_2\text{O}_3$ なる2種の固溶體のあることを指摘してゐる。

これらの研究は、酸化鐵( $\text{Fe}_2\text{O}_3$ )と酸化マンガン( $\text{Mn}_3\text{O}_4$ )の高溫度に於ける固體反応によつて生ずる強磁性物質の結晶構造の究明に重點を置いたので、固體反応に依つて、如何にして強磁性化合物が生成せられるか、と云ふ方面には未だ不明の點を多く残してゐる。従つてこの研究に於ては、酸化鐵と酸化マンガンの混合割合、加へられる壓力、反応の溫度、反応の時間等が、如何に生成強磁性物の磁化の強さに影響するかを詳細に實驗し、これ等酸化物間の固體反応の機構を究明しやうと試みた。又かくて生成せられた強磁性結合物の磁性と溫度との關係及び高溫度で反応した時の組織が、冷却速度に依つて、如何に變化するかを調べて見た。本報告はこれ等の實驗結果に就て述べたものである。

II. 實驗の方法

1 磁氣曲線の測定

磁化の強さの測定には、彈動検流計に依る方法を採用し、第1圖の如く裝置した。圖中1及1'が磁場を作るソレノイドで、8なる蓄電池から電流を取る。2は2次コイルで、この中に試料を装入する。試料を装入せぬ場合に、ス



第 1 圖

イツチ K を開いて電流を切れば、彈動検流計 4 には振れを生ずるのであるが、2'なる2次コイルを2と直列に使用し、これを1'中に挿入することにより、検流計の振れを零とすることが出来る。1及1'は長さ 40cm 滾數 2000 回、内徑 56mm のもので、2次コイルとしては、内徑 10mm の孔を持つ長さ 20mm の木製の枠に、滾數 1712 回のものを使用した。磁場の強さを測定する目的で、別に長さ 17.8 cm 滾數 120 回、コイルの直徑 34.6mm のソレノイドを銅管上に捲いて、標準ソレノイド 3 とした。5 及 6 の抵抗は検流計の振れが大き過ぎるとき、振れを 1/10 とする爲に装入する抵抗である。使用した彈動電流計の周期は、31.6 s 線輪抵抗は 535 Ω で、圖の如く裝置した場合に、検流計の振れを 1/10 とするには、検流計と直列に 482 Ω、並列に 59 Ω の抵抗を回路に入れればよい。

この検流計の定数、即ち検流計に流れる電氣量  $Q$  と、振れ  $\theta$  mm の関係は

$$Q = 1.86 \times 10^{-14} \times \theta \text{ クーロン} \quad (1)$$

であつた。

標準ソレノイドの断面積は  $9.40 \text{ cm}^2$  である。2次コイルの断面積は、捲數が多く數十層となつてゐるので、實測は困難であるから、2次コイル 1 個を磁場を作るソレノイド中に装入した場合の振れと、標準ソレノイドのみを磁場を作るソレノイドに入れた場合の検流計の振れとから、2次コイルの實效断面積を算出した。その方法は次の通りである。

標準ソレノイドに流れる電氣量  $Q_1$  は

$$Q_1 = \frac{\phi_1 N_2}{10^8 R} \quad (2)$$

で與へられる、ここに  $\phi_1$  は、標準ソレノイドの断面積  $A$  を通過する磁力線の數で

$$\phi_1 = A \left( \frac{4\pi N_1 i_1}{10} \right) \quad (3)$$

である。  $N_1$  は磁場ソレノイド 1cm 每の捲數、 $i_1$  はその電流である。  $N_2$  は標準ソレノイドの捲數、 $R$  は回路の抵抗である。

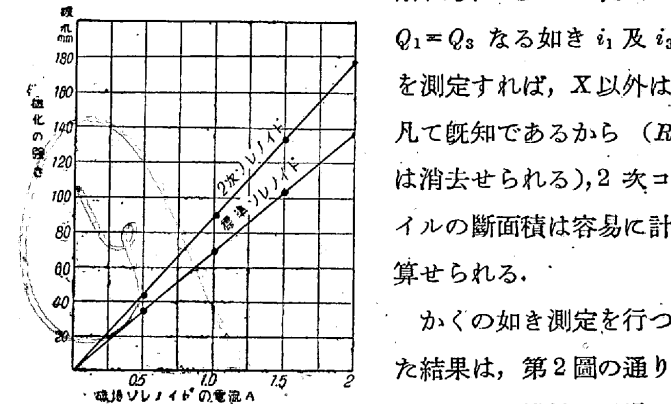
同様に 2次コイル 1 個のみを磁場ソレノイド内に入れた場合の電氣量  $Q_3$  は

$$Q_3 = \frac{\phi_3 N_3}{10^8 R} \quad (4)$$

で與へられ、 $\phi_3$  は

$$\phi_3 = X \left( \frac{4\pi N_1 i_3}{10} \right) \quad (5)$$

である。 $N_3$  は 2次コイルの捲數、 $X$  は 2次コイルの有效断面積である。従つて  $Q_1 = Q_3$  なる如き  $i_1$  及  $i_3$  を測定すれば、 $X$  以外は凡て既知であるから ( $R$  は消去せられる)、2次コイルの断面積は容易に計算せられる。



第 2 圖

かくの如き測定を行つた結果は、第2圖の通りであつて、横軸に磁場ソレノイドを流れる電流  $i$  アンペアーを書き、縦軸にそれぞれ標準ソレノイド、及び 2次コイルを入れた場合の振れの大きさを mm で示した。即ち  $X$  は

$$X = \frac{9.40 \times 120}{1712} \times \frac{885}{69} = 8.46 \text{ cm}^2$$

さて 2つの 2次コイル 2 及 2'を、第1圖の如く磁場ソレノイド中に入れて、試料を装入しない時の検流計の振れが、電流  $i$  の如何に關らず零となる様に、2次コイル 2'の位置を調整し、次に 2次コイル 2 に試料を装入し、磁場ソレノイドに  $i$  なる電流を流して、試料を手早く引出せば、彈動検流計は、電氣量  $Q$  を記録する。これは試験片を入れたときの 2次コイル内の全磁束

$$\phi_a = \frac{\pi D^2}{4} \times 4\pi I + X \left( \frac{4\pi N_1}{10} i - \bar{N} I \right) \dots (6)$$

と補助2次コイル 2' 内の磁束  $X \left( \frac{4\pi N_1}{10} i \right)$  との差即ち

$$\phi_x = (\pi^2 D^2 - X \bar{N}) I \dots \dots \dots (7)$$

に比例するわけである。ここに  $D$  は試験片の直徑,  $I$  はその磁化の強さ,  $N$  はその反磁場係数である。

さて

$$Q = K\theta = \alpha\phi \dots \dots \dots (8)$$

$\alpha, K$  は定数,  $\phi$  は磁束數

であるから,  $\beta = K/\alpha$  と置けば,

$$\phi = \frac{K\theta}{\alpha} = \beta\theta \dots \dots \dots (9)$$

となる。従つて  $\phi_x$  は検流計の振れ  $\theta$  から容易に求められる。

今  $\beta$  を求めんに (5) 式から

$$\phi_3 = X \left( \frac{4\pi N_1}{10} i_3 \right) = 8.46 \times \frac{4\pi}{10} \times 50 \times i_3 = 531.5 i_3$$

第2圖から  $i=1 A$  のとき,  $\theta$  は 8.85 mm の振れであるから, (9) 式に代入して

$$531.5 = \beta \times 88.5; \beta = 6.01 \dots \dots \dots (10)$$

となる。

反磁場係数  $\bar{N}$  と, 試験片の長さ  $l$  と直徑  $D$  との関係を圖示したのが, 第3圖である。 $D=8$  mm,  $l=50$  mm の吾々の試料の場合には,  $\bar{N}$  は 0.365 となるものとして計算した。従つて (7) 式を書き直すと

$$I = 1.84\theta \dots \dots \dots (11)$$

となる。

この式によれば, 上述の如き試料を磁場から手早く引出したとき, 検流計の振れの大きさ mm を 1.84 倍すれば, その磁場の強さに於ける磁化の強さが得られる。試料が毀れ易い場合には, これを度々磁場から引出すのは都合が悪いので, 試料を 2 次コイルに入れてしまふし, スイッチ  $K$  によって電流を逆とし, 磁場の方向を反対にした場合の検流計の振れを  $1/2$  にして記録した。

## 2. 試料の調製

實驗に使用した酸化鐵 ( $Fe_2O_3$ ) は, 小島製の化學用純と云ふ品を, 又酸化マンガンは市販の酸化マンガンを, 實驗

室で過硫酸アムキン法及炭酸バリウム法により 2 回精製しこれを  $900^{\circ}\text{C}$  で焼いて使用した。かく精製した酸化マンガンの純度は, 99.98% であつた。これ等の薬品を分子量の割合に秤量し, 良く混合したる後, 鋼製壓縮成形器に依つて, 直徑 8 mm, 長さ 50 mm の試料を製造した。壓縮成形の際の壓力は, 特に断らない場合には  $1\text{cm}^2$  に付 1800 kg である。かく成形した試料を磁製ポートに入れて, 長さ 45 cm の白金管状抵抗式電氣爐の中央に挿入し, 所定の溫度, 所定の時間, 酸化雰圍氣中で培燒し, 爐から取出して空中放冷し, 前述の方法により磁化の強さを測定した。

尙 これ等試料の磁化の強さと, 磁鐵礦の磁化の強さを比較する爲に, 比較的純度の高い磁鐵礦として, 通遠堡鐵礦石を粉碎し, 磁力選礦して, Fe 69.20%, Mn 1.54%,  $SiO_2$  0.68% の分析成分のものを得たので, この粉末を他の試料と同様に壓縮成形器で加壓成形したものに就て, 磁化の強さを測定した。

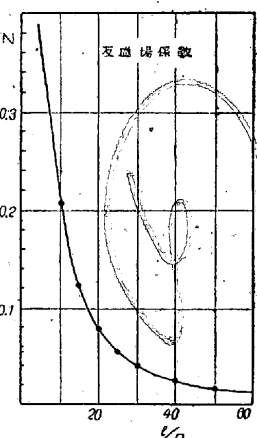
## III. 實驗の結果

### 1. 磁氣曲線に就て

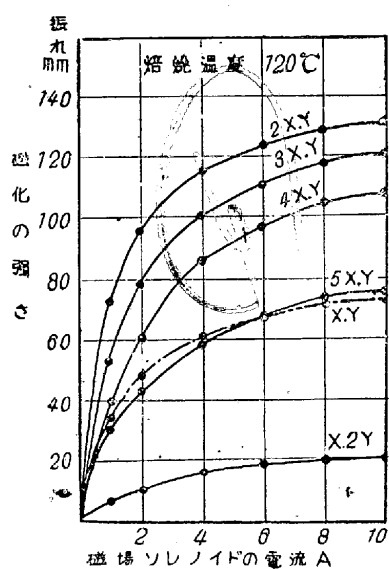
實驗の結果を簡単に圖示する爲に, 酸化鐵 1 分子量を  $X$  で表し, 酸化マンガン ( $Mn_3O_4$ ) の 1 分子量を  $Y$  で表した。従つて  $X \cdot Y$  なる記号のものは, 酸化鐵 1 分子量と, 酸化マンガン 1 分子量の割合に混合した試料であることを意味する。 $2X \cdot Y$  なる記号は, 同様に酸化鐵 2 分子量と, 酸化マンガン 1 分子量との割合の混合物であり,  $X \cdot 2Y$  なる記号は, 酸化鐵 1 分子量と酸化マンガン 2 分子量との混合物であることを意味する。他の記号のものも, 以上と同意義のものである。

$X \cdot Y, X \cdot 2Y, X \cdot 3Y, \dots$  及び  $2X \cdot Y, 3X \cdot Y, 4X \cdot Y, \dots$  等の試料を, 前述の如く, 直徑 8 mm, 長さ 50 mm に加壓成形し, これを所定の溫度に保持した電氣爐中に挿入し, 數 mm でその溫度に達せしめて, 2 h 保持した後, 爐から取出し, 空中冷却した試料に付き, 前述の裝置によつて, 磁氣曲線を求めた結果が, 第4圖乃至第7圖である。

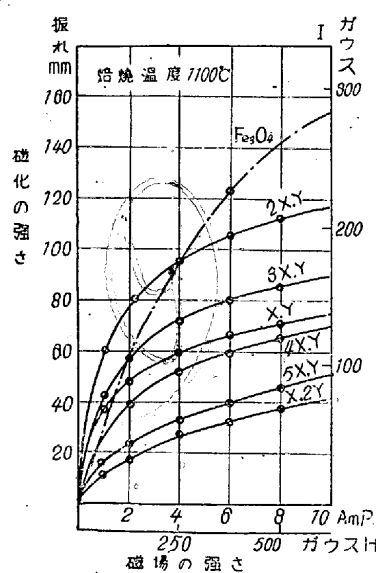
第5圖中に, 前述の比較的純度の高い磁鐵礦の磁化の強さを挿入してある。これ等の圖によつて明かな通り, 酸化鐵と酸化マンガンの固體反応によつて生成した強磁性結合物は, 磁場ソレノイドの電流が, 8A 即ち 502 ガウスの磁場にて, 既に磁化の強さが飽和に近くなつてゐる。然し磁鐵礦の磁氣曲線は, 502 ガウスの磁場では飽和に近くはないことを示してゐる。



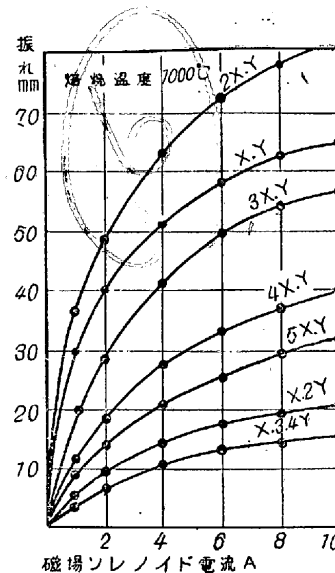
第 3 圖



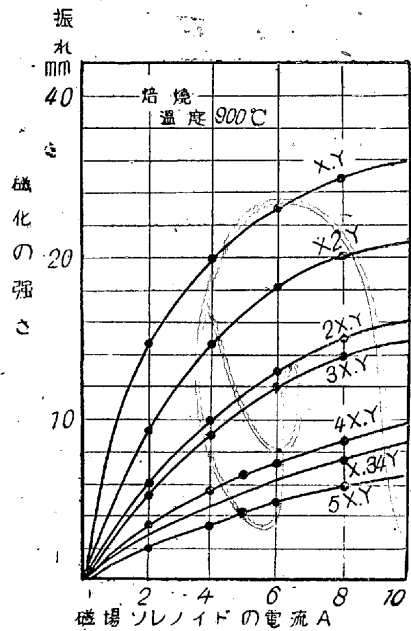
第4圖 I-H曲線



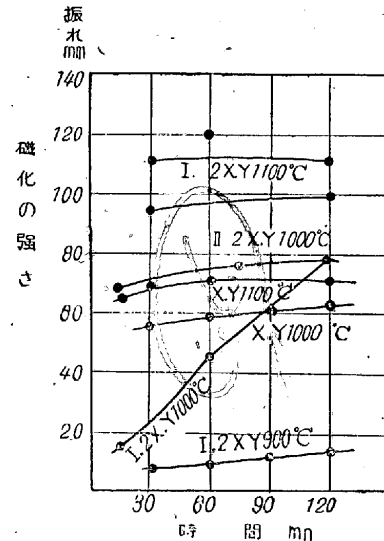
第5圖 I-H曲線



第6圖 I-H曲線



第7圖 I-H曲線



第8圖 焙燒時間とIとの関係

これ等は、凡て焙燒時間 2h のものであるが、焙燒時間が変化すれば、又磁化の強さも變り、従つて一般には又別な I-H 曲線を得る。焙燒時間を変化した場合、磁化の強さが如何に変化するかを調べる爲に、各組成の試料に就て、焙燒時間 5mn より數 h にわたる多數の測定を行つたが、それ等の結果を全部圖示することは煩雑であるから、後にその中の重要な結果のみを述べることとした。

唯ここで一言すべきことは、焙燒時間が 2h 以上であれば、十分よく混合せられた試料では、その組成に特有の磁化の強さに達し、それ以上増加しないと云ふことである。従つて磁化の強さは、唯その組成と焙燒温度によつて決定せられるものと考ぶることが出来る。その意味に於て、こ

こには、焙燒温度 2h の場合の I-H 曲線を掲げたのである。

## 2. 磁化の強さ I と焙燒時間との関係

焙燒温度を一定にした時、I-H 曲線が焙燒時間に依つて如何に變化するかを、測定したものを使つてみると、第 8 圖となる。この圖は、I-H 曲線を澤山書く代りに、磁場の強さ H が 502 Gaus の點に於ける磁化の強さ I を比較したので、これ等の値を縦軸に時間を横軸に採つて書いたものである。

この圖によつて判る通り、X・Y なる組成の試料では、焙燒時間による磁化の強さの変化は極めて少く、15mn 加熱したとき、既に飽和に近い値を示し、1h 以上加熱すれば、殆ど磁化の強さは一定となる。然し 2X・Y と云ふ試料に於ては、X・Y を混合作製したと同程度の混合状態 I では、1000°C の焙燒の場合には、圖に示す如く、直線的に時間の增加に従つて磁化の強さが増加する。然し 900°C 及 1100°C の焙燒試料は同じ程度の混合、即ち I では焙燒時間に關係なく、略一定の値を示す。次に試料の混合を特に注意深く長時間を掛けて行つた II では、曲線に示す如く、この傾斜は比較的緩やかとなり、X・Y と大體同様な曲線となる。従つて十分よく混合した試料を一定温度に 2h 焙燒することにより、その温度に於ける最大の磁化の強さに達せしめ得る。

ものと考へられる。 $2X \cdot Y$ なる組成の試料が、 $1000^{\circ}\text{C}$ に於て、他の混合試料より固體反応がかくも遅れる理由に就ては、未だ十分説明し得ない。尙 $2X \cdot Y$ なる試料を $1100^{\circ}\text{C}$ で焙燒した場合には、圖に示す如く一様な値を示さない。磁化の強さは、殆ど最初の混合の状態によつて決定されてしまふ。そして一定の混合状態の試料に就ては、磁化の強さは焙燒時間には殆ど無関係に一定の値を示す。 $3X \cdot Y$ ,  $4X \cdot Y$ 等の試料も、 $2X \cdot Y$ と似た傾向を持つて居り、又 $X \cdot 2Y$ ,  $X \cdot 3Y$ 等は $X \cdot Y$ と似た傾向を持つてゐることが實驗の結果から明かとなつた。

### 3. 磁化の強さと組成との關係

試料を一定の温度で $2\text{h}$ 焙燒すれば、酸化鐵と酸化マンガンの混合が十分よく行はれてゐる場合には、その温度に於ける最大の磁化の強さを示すことが判つたが、この最大

の磁化の強さと組成の關係を見るために磁場の強さ502ガウスの點に於ける磁化の強さを縦軸に、組成を横軸に取つて圖示すると、第9圖及第10圖の如くな

る。

第9圖に於て、 $2X \cdot Y$ の試料に就ては $1100^{\circ}\text{C}$ 及 $1200^{\circ}\text{C}$ に於ける焙燒によつて磁化の強さは、前に説明した様に、最初試料を造つた時の状態に依つて、多少の違ひがあるから、圖

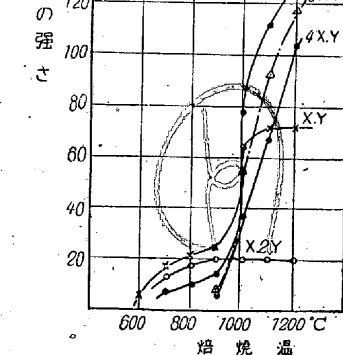
にはその中の平均に

近い點を記入した、この圖で明かとなる如く、丁度 $2X \cdot Y$ の組成の所では、磁化の強さが非常に大きく、又焙燒温度による變化も大となつてゐるので、この點は、最初の僅の條件の差に依つて、可なり大きな變化のあることは、寧ろ當然と考へられる。

この圖で特に注目される點は、 $2X \cdot Y$ より左の組成、即ち $X \cdot Y$ ,  $X \cdot 2Y$ ,  $X \cdot 3Y$ の如く、マンガンの多い組成の試料に於ては、或る温度以上で焙燒すれば、磁化の強さは、

焙燒温度に關係なく、一定である點である。又 $2X \cdot Y$ より $X$ 、即ち酸化鐵の多い組成に於ては、焙燒温度の増加に従つて、逐次磁化の強さが增加する。又焙燒温度が $1100^{\circ}\text{C}$ で、最大の磁化の強さを示す點は $2X \cdot Y$ の組成であるが $1000^{\circ}\text{C}$ の焙燒温度では、最大磁化を示す組成は、 $X \cdot Y$ と $2X \cdot Y$ の中間位の點となり、更に温度が下ると、 $X \cdot Y$ の組成が最大の磁化の強さを示す様になる。

このことは、温度が比較的低い即ち $900^{\circ}\text{C}$ 以下の焙燒に於ては、 $X \cdot Y$ なる組成の結合體が一番生成し易く、 $1000^{\circ}\text{C}$ 以上の場合には、 $2X \cdot Y$ の組成の結合體が生成し易いことを示すものではなからうかと思ふ。而して $2X \cdot Y$ なる組成の結合體の方が、その磁化の強さが遙に大なるものと考へられる。



第9圖 磁化の強さと組成との關係

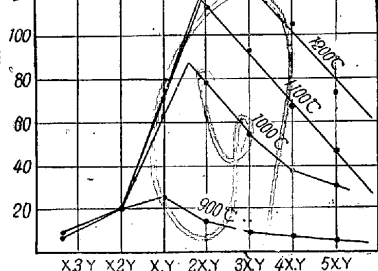
磁化の強さと焙燒温度との關係

換言すれば、 $900^{\circ}\text{C}$ 以下では、 $X \cdot Y$ か或は $X \cdot 2Y$ かの組成の結合物が、比較的容易に生成し、 $1000^{\circ}\text{C}$ 以上では $2X \cdot Y$ なる組成の結合體が、容易に生成せられるものと思はれる。

第10圖に、焙燒温度 $800^{\circ}\text{C}$ 及 $700^{\circ}\text{C}$ の場合の磁化の強さと組成との關係を示してゐる。これ等の結果から見ると、 $900^{\circ}\text{C}$ 以下では $X \cdot Y$ なる結合が最大の磁化の強さを示してゐる。

### 4. 磁化の強さと焙燒温度との關係

$X \cdot Y$ の組成の試料は、 $500^{\circ}\text{C}$ の焙燒の場合磁化の強さは502ガウスの磁場では、0.3ガウス以下であつて、實驗に使用した酸化鐵も、酸化マンガンも、亦これ等の混合試料も、502ガウスの磁場に於ける磁化の強さは、0.3ガウス以内であつたから、 $500^{\circ}\text{C}$ の焙燒温度では、強磁性を發生しないものと考へられる。 $600^{\circ}\text{C}$ の焙燒にて、502ガウスの磁場で、 $X \cdot Y$ の試料は、1.2ガウスの磁化の強さを示してゐるから、明かに酸化鐵と酸化マンガンの固體反応は、



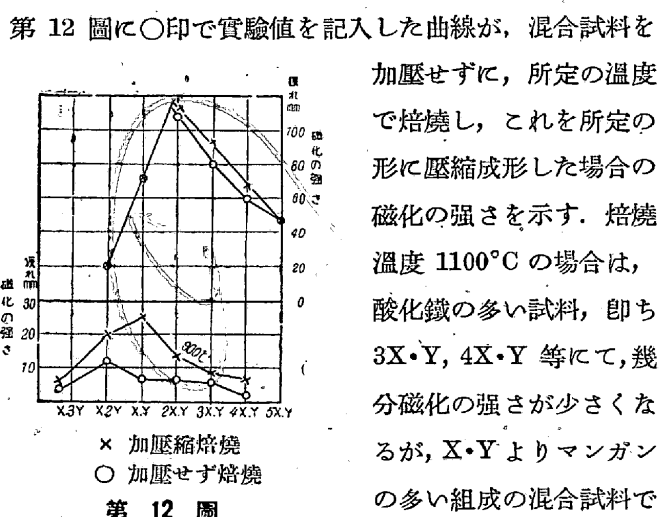
第10圖 磁化の強さと組成との關係

600°C 近くから始まることを意味する。

焙燒温度の低い場合は、酸化マンガンの多い組成、即ち X-Y, X-2Y 等が、比較的磁化の強さが大きく、酸化鐵の多い組成、即ち 2X-Y, 3X-Y 等の磁化の強さは少い。この関係は、502 ガウスの磁場に於ける磁化の強さを圖示した第 11 圖によつて明かに見ることが出来る。

然し焙燒温度の高い場合、即ち 1000°C 以上の場合には、酸化鐵の多い組成は磁化の強さが非常に大きい。X-Y 及 2X-Y の組成の試料が、990°C 近くで磁化の強さが急激な増加を示すことは、この温度で、何か新しい反応が始つてゐることを示すものと考へるのが、適當ではないかと思ふ。然しながら、これ等の點に就ては、更に X 線或は他の物理的又は化學的手段によつて確めねばならない。

### 5. 磁化の強さと成形壓力との關係

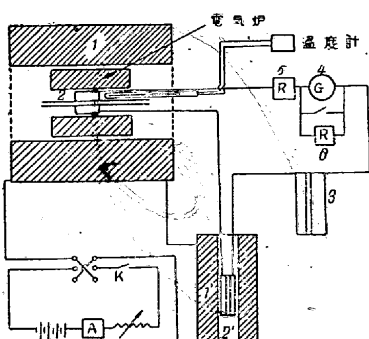


第 12 圖 壓縮と磁化の強さとの關係

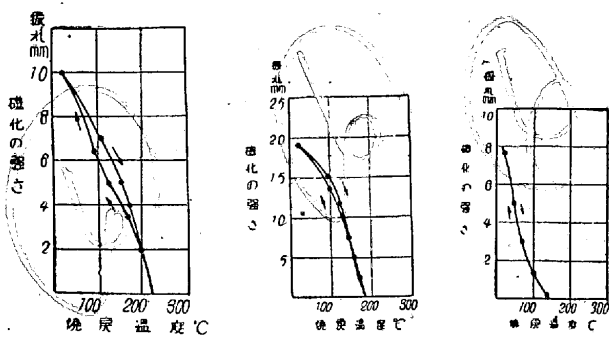
試料を焙燒したものと殆ど變りがない。焙燒温度が低く、900°C の場合には、加壓せずに焙燒した方は、加壓して焙燒したものより、磁化の強さが小さくなつてゐる。加壓せずに焙燒した場合は、最大磁化の強さの點が、Y に濃い方に移動する。然しながら、一般には混合を十分よく行へば、焙燒時間を長くすることにより、成形壓力の影響を十分小さくすることが出来る。

### 6. 強磁性と温度との關係

強磁性と温度との關係を測定する爲に、第 13 圖にその略圖を示す如く、磁場ソレノイドの内徑 20cm のもの

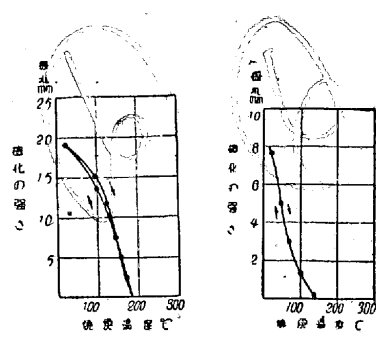


第 13 圖



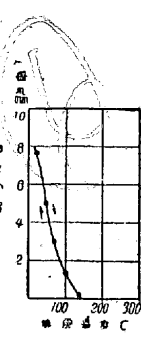
X-Y 900°C

第 14 圖



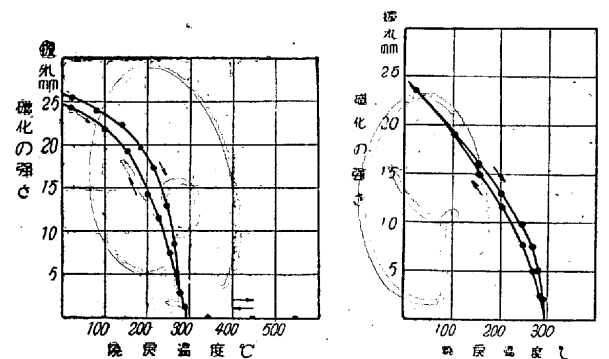
X-Y 1100°C

第 15 圖



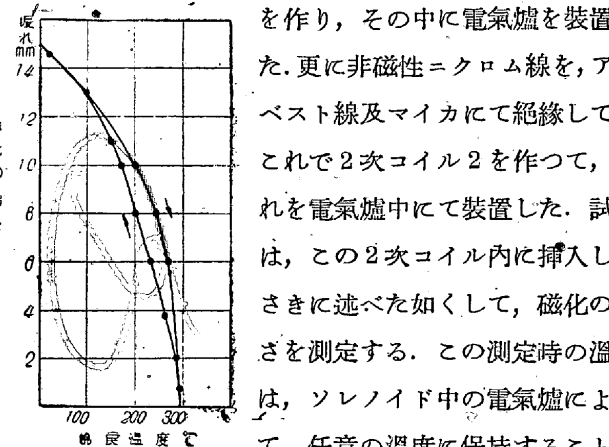
X-2Y 1100°C

第 16 圖



2X-Y 1100°C

第 17 圖 2X-Y 1100°C



3X-Y 1100°C

を作り、その中に電氣爐を裝置した。更に非磁性ニクロム線を、アスベスト線及マイカにて絶縁して、これで 2 次コイル 2 を作つて、これを電氣爐中にて裝置した。試料は、この 2 次コイル内に挿入し、さきに述べた如くして、磁化の強さを測定する。この測定時の温度は、ソレノイド中の電氣爐によつて、任意の温度に保持することが出来る。勿論検流計の振れを取るときは、電氣爐に通ずる電流を一時切つて、その爲に生ずる影響をなくす様にした。

測定の結果は、第 14 圖から第 19 圖迄に圖示してある。これ等の測定は、凡て磁場の強さ 334 ガウスの點で行つた。検流計の振れ mm を 7.35 倍すれば、磁化の強さをガウスで表すことが出来る。これ等の曲線を、簡単の爲に I-T 曲線と呼ぶことにする。

一般に強磁性物質はその磁氣變態點の近く迄は、温度に關係なく、略一定の磁化の強さを持ち、Curie 點の近くで急に磁化の強さが減少して、零となるのであるが、酸化鐵と酸化マンガンの固體反応に依つて生じた強磁性物質は、

常温より漸次磁化の強さを減少して、常磁性となるので、この點多少普通の強磁性物質と變つてゐるが、これは、更に低溫度の方を實験すれば、或は廣い溫度範囲で、略一定の磁化の強さを示すことがあるかもわからない。然しあれの試料も、Curie 溫度は、明かに現れてゐる。この Curie 溫度と、組成の關係を表にして示すと、第 1 表の如くなる。

第 1 表

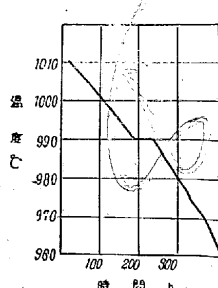
組成	焙燒溫度°C	Curie 點 °C
X·Y	900	235
	1100	195
X·2Y	900	155
	1100	155
2X·Y	1100	295
3X·Y	1100	295
	1200	295
4X·Y	1100	295

強磁性を呈する物質が同一なら、同一の Curie 溫度を持つと考へれば、第 1 表に見られる通り、2X·Y より多い酸化鐵を含有する組成のものは、凡て 2X·Y なる強磁性結合物と、酸化鐵との混合状態であると考へられる。

X·Y の組成の試料に、5% (重量にて) の鹽化マグネシウム、或は食鹽を混合したものを、1000°C にて燃焼して、強磁性とした試料に就ても、同様に Curie 點は、195°C を示した。これによると、不純物を混入せしめることによつて Curie 點は變化しなかつた。

以上の實驗結果から判断して、酸化鐵と酸化マンガンとの固體反応によつては、少くとも 4 個の結合物、即ち X·Y (1000°C 以上) 及び X·Y (900°C 以下) 及び 2X·Y 及び X·2Y が存在することを認め得る。今後簡単の爲に、X·Y (900°C 以下) を  $\alpha$ ·X·Y と名づけ、X·Y (1000°C 以上) を  $\beta$  X·Y と呼ぶことにする。さきにこの  $\alpha$ ·X·Y と  $\beta$ ·XY との移行點が、990°C の近くにあるだらうと云ふことを、磁化の強さと焙燒溫度との關係から指摘したが、これを明確ならしめる爲に熱分析を行つて見た。これを第 20 圖に示す。これによれば、

この變態點は、990°C であること明かである。



第 20 圖

X-Y 試料の熱分析

又 X·2Y よりも多くの酸化マンガンを含有する組成のもので、X·2Y と別な結合物があるか否かは、これ等の組成のものは、磁化の強さが小さいので、これを決定することは困難である。又 2X·Y の組成の、900°C 以下の溫度で

焙燒した試料の Curie 點に付き、測定を行つた所、略 150°C となつたが、磁化の強さが比較的小さいので、正確な溫度を決定することが出來なかつた。

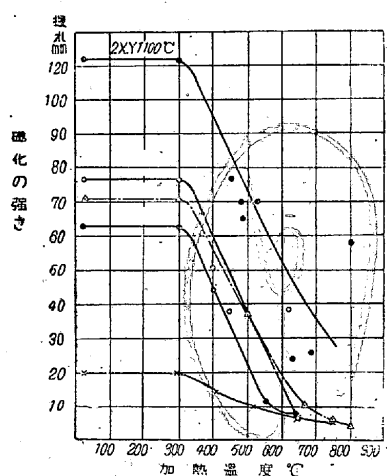
以上の結果によれば、Curie 點は酸化マンガンの多い X·2Y の 155°C から、酸化鐵が増加するに従つて高くなり、2X·Y で 295°C となつてゐる。然しこの Curie 點の變化することが、何を意味するかは未だ判然としない。酸化鐵のみの場合と考へられる磁鐵礦では、Curie 點が更に上昇して、50°C から 600°C 近い値を示す様である。

これ等の事實に就ては、更にマンガン以外の金属酸化物と、酸化鐵との固體反応によつて生成される、強磁性結合物に就て研究すれば、幾分明かとなるのではないかと考へられるので、かかる觀點から引續き實驗を行つてゐる。

#### 7. 焼戻し處理と磁化の強さとの關係

第 17 圖に於て、2X·Y 1100°C の試料を 600°C 迄加熱して後、冷却した場合に、磁化の強さが、元の値に回復しないことを示してゐるが、これは高溫よりの徐冷によつて、強磁性を呈してゐた結合物が、變化したのではないかとも考へられる。即ち 1100°C の如き高溫度にて、急冷することにより、1100°C に於て安定な組織が、急冷によつて、常温迄持ち來たされたものが、再び相當の高溫度迄加熱されたので、平衡状態に移行する方向に變化を起したものではなからうか。若しさうであるならば、1100°C より急冷した試料を、800°C 位の溫度に長時間保持して後徐冷すれば 1100°C にて安定な組織も、亦分解してしまふであらうと思はれる。即ち一種の焼戻しを行ふことが出来る筈である。

かくの如き焼戻しの實驗結果を、第 21 圖に示してゐる。



第 21 圖

これ等は横軸に書いてある溫度に、2h 保持した後、100°C を 20mn の割合で冷却した場合に、その試料が、常温で縦軸に示す磁化の強さを與へたことを表して居る。その時の磁場の強さは、502 ガウスである。この圖にて明かに如く、300°C 以上の焼戻し處理によつて、磁化の強さは焼戻し溫度の上昇に従ひ減少してゐる。これ等の測定は、第 1 圖で説明した測定装置で行つたのである。

第21図に示す如く、 $2X \cdot Y$  1100°C の試料は、焼戻し處理によつて多少結果が揃はぬ點があるが、一般の傾向は十分現れてゐる。

### 8. 實驗結果の考察

以上の様に得られた結果から、酸化鐵と酸化マンガンの混合物が、固體反応に依つて、強磁性結合物の生ずる様子の大體を察することが出来る。

これを判り易い形に書いて見たのが、第22図の反應圖とも稱すべきものであつて、狀態圖の如く見えるが、狀態圖と考へるべきものではなく、唯以上の實驗結果を、一纏めに現すに便利な様に圖を書いたもので、反應の様子を理解する助としたに過ぎない。

この圖は 600°C 迄は、酸化鐵と酸化マンガンは、未だ固體反應を起すことなく、混合物のまま存在することを示し、600°C を過ぎた温度では、酸化鐵と酸化マンガンは固體反應を起して、その混合の割合によつて、 $2X \cdot Y$ 、或は  $\alpha X \cdot Y$  又は  $X \cdot 2Y$  なる結合物と、 $X$  及  $Y$  との混合物とより成ることを表す。 $2X \cdot Y$  が 990°C 以下の焙燒溫度で、果して  $X \cdot Y$  の場合の如く、1000°C 以上の試料と、別個の結合物を生成するか否かは、未だ明かではないので、圖中にはその點は記入しなかつた。又  $2X \cdot Y$  と  $X \cdot Y$  の間の組成の混合物にあつては、これ等兩者の結合物と、 $X$  と  $Y$  との混合物となり、同様に  $X \cdot Y$  と  $X \cdot 2Y$  との間の組成の混合物にあつては、 $\alpha X \cdot Y$  と  $X \cdot 2Y$  と  $X$  と  $Y$  との混合物よりなるものと思はれる。

$X \cdot Y$  なる組成の混合物を、990°C 以上に加熱すれば、 $\beta X \cdot Y$  なる結合物と、 $X$  と  $Y$  との混合物となり、更に

1100°C 以上の溫度に、長く加熱すれば未だ反應しない  $X$  と  $Y$  とは、皆  $\beta X \cdot Y$  なる結合物となる。即ち圖にある  $X' Y'$  線は、この線以上の溫度に加熱すれば、反應し得べき成分は、凡て反應し終ることを示す線である。このことは、第9圖及

第11圖から容易に結論し得る所で；第9圖で  $X \cdot Y$  の組成の磁化の強さが、1100°C 以上の溫度では、殆ど變化なく一定であることか

ら明瞭である。

又その他の組成のものに就ても、同様に説明し得る。云ひ換へれば、この圖は、上述の實驗結果を、單に書き表したものに過ぎない。

第22圖は、反應圖とも稱すべきものであるが、又第7節の焼戻し處理の結果をも説明するに役立つ。即ちこの圖を普通の狀態圖の如く見れば、急冷すると高溫度で安定な組織が得られるが、この組織は焼戻し處理に依つて分解するもの、と見ることが出来るからである。

以上述べたことは、主として磁性の測定から論じてゐるのであるから、X線分析その他の方法によつて、結晶構造その他の觀點から一層研究せねばならない。

### IV 總 括

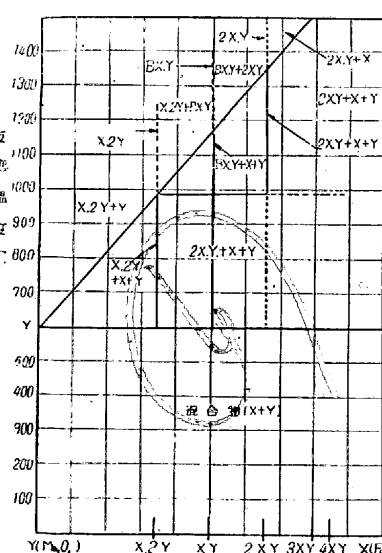
以上は酸化鐵と酸化マンガンの固體反應の機構を明かにせんとして行つた實驗の経過に就て報告したものであるが、その結果を總括すれば次の如くである。

1. 酸化鐵と酸化マンガンの混合物は 600°C 以上に加熱すれば強磁性結合物を生成する。
2. 強磁性結合物の磁性は、その焙燒溫度、焙燒時間、酸化物間の混合の狀態、混合物の組成等によつて左右されるが、これ等の影響を詳細に研究した。
3.  $Fe_2O_3 \cdot Mn_3O_4$  より酸化マンガンの多い組成では、焙燒溫度が或る値以上となると、反應結合物の磁化の強さが溫度に殆ど無關係に一定となる。
4. 各組成の結合物に就て Curie 點を測定した。
5. 高溫度よりの急冷によつて生成した強磁性結合物を更に 300°C 以上の溫度で焼戻すことにより、磁性を減少せしめることが出来る。
6. 反應による生成結合物には、少くも  $Fe_2O_3 \cdot 2Mn_3O_4$ 、 $\alpha Fe_2O_3 \cdot Mn_3O_4$ 、 $\beta Fe_2O_3 \cdot Mn_3O_4$ 、 $2Fe_2O_3 \cdot Mn_3O_4$  の4種の結合状態があると考へられる。
7.  $\alpha Fe_2O_3 \cdot Mn_3O_4$  より  $\beta Fe_2O_3 \cdot Mn_3O_4$  への移行は 990°C で起る。
8. 以上の結果から、酸化物間の反應を説明するに役立つ反應圖を書くことが出来た。

本稿を終るに際し、當實驗中色々と御指導頂いた秋田研究所長に深甚なる謝意を捧げ、併せて實驗中熱心な努力を拂はれた岩田俊郎、熊守君及千田良忠三君に對し衷心より謝意を表す。

### 文 獻

- 1) 例へば J.W. Mellor: A Comprehensive Treatise on Inorganic and Theoretical Chemistry, Vol. XIII p905.
- 2) Phy. Zeit. 39 (1938) 208.
- 3) Z. Krist. 92 (1935) 136.
- 4) Mitt. K-W. Inst. 1933, Lfg. 12, 161.
- 5) 700°C (天然產  $Fe_2O_4$ ) K. Honda and T. Sone: Sci. Rep. Tohoku 3(1914), 223; 550°C (人工製  $Fe_2O_4$ ) O. Bandish, Phil. Mag. 50(1925), 399; 800°C (天然產  $Fe_2O_4$ ) R.B. Sosman and J.C. Hostetter, Bull. Amer. Inst. Min. Eng. 1917, 930:600°C (鞍山磁鐵礦) 長谷川熊彦及後藤有一: 鐵と鋼 19 (昭和8年), 617.



第 22 圖

結論し得る所で；第9圖で  $X \cdot Y$  の組成の磁化の強さが、1100°C 以上の溫度では、殆ど變化なく一定であることか